

电子学研究所
74-05015
100

强介陶瓷电容器

Д. М. 卡扎尔諾夫斯基著

李均报譯

章士瀛校



內容簡介

本書簡述了強性陶瓷的結構與極化的物理概念，並介紹強介電容器的結構、計算、製造工藝和試驗方法的基本知識。

本書供有關工程師、設計師、實驗室工作人員在製造和在電工技術與無線電技術裝置中，應用強介電容器時參考。

有關專業的高年級大學生亦可用做參考書。

DC44/17

苏联 Д. М. Казарновский 著 ‘Сегнетокерамические конденсаторы’ (Госэнергоиздат 1956 年第一版)

*
國防・書出版社

北京市書刊出版業營業許可證出字第 074 号
機械工業出版社印刷廠印刷 新華書店發行

*

787×1092 1/25 印張 8 7/25 166 千字

1959年 5 月第一版

1959年 5 月第一次印刷

印數：0,001—5,100 冊 定價：(11) 1.35 元
NO. 2884

目 次

前言	5
緒論	7
第一章 强介电容器的一般性能	16
1. 电介质的滞后現象	16
2. 电容	18
3. 电容器的非直線性	22
4. 无功功率和电容器的品質因数	25
5. 压电效应	29
6. 电容器的絕緣电阻	33
7. 电容器的絕緣强度	35
8. 电容器参数的变化	37
第二章 在陶瓷材料內的强电現象	40
9. 鈦酸銀的自發極化	40
10. 其他几种陶瓷材料的自發極化	47
11. 强性陶瓷內的自發電致伸縮	50
12. 在电場中的強性陶瓷	52
第三章 具有强电性能的陶瓷材料	57
13. 鈦酸銀	58
14. 鈦酸鉛	71
15. 鎢酸鉛	73
16. 鎢酸銀溶于鎢酸鉛內的固态溶液	78
17. 鈦酸鈣溶于鈦酸鉛內的固态溶液	79
18. 鈦酸鋇溶于鈦酸鉛內的固态溶液	79
19. 錫酸銀溶于鈦酸銀內的固态溶液	80
20. 鎢酸銀溶于鈦酸銀內的固态溶液	83
21. 鈦酸鉛溶于鈦酸銀內的固态溶液	87
22. 鈦酸鋇溶于鈦酸銀內的固态溶液	90
23. 鈦酸鈣溶于鈦酸銀內的固态溶液	93
24. 鈦酸銀、鎢酸銀、鈦酸鉛和鎢酸鉛相互生成的固态溶液	94
25. 鈦酸鈣和鈦酸鋇溶于鈦酸銀內的固态溶液	96

第四章 强介电容器的設計原理和結構	99
· 26. 与强性陶瓷絕緣强度相适应的电容器电压	99
· 27. 与發热条件相适应的电容器电压	103
· 28. 与要求的强电性能相适应的电容器电压	110
· 29. 电容器的电容和損耗	112
30. 电容器的非直線性	119
31. 單層型电容器	121
32. 組合型电容器	122
33. 抗干扰电容器	126
34. 橫電場飽和的强介电容器	137
第五章 强介电容器的制造	136
35. 陶瓷电容器生产的一般工艺	136
36. 强性陶瓷制造过程的基本特征	142
37. 薄片平板形电容器的制造	147
38. 管形电容器的制造	153
39. 鼓形电容器的制造	153
第六章 具有强的和弱的非直線性的标准强介电容器	156
40. 非直線性弱的电容器的材料	156
41. 盘形和管形电容器	161
42. 多層組合电容器	166
43. 小型电容器	167
44. 鼓形电容器	169
45. 非直線性电容器	173
第七章 强介电容器的电气試驗	180
46. 直流电压下电容器的电容	180
47. 交流电压下电容器的电容和品質因数	182
48. 在交流和直流电压下电容器的电容量	193
49. 电容器的电流和电压曲綫	195
50. 电容器的压电特性	196
51. 电容器的絕緣强度	201
52. 电容器的絕緣电阻	206
53. 电容器的可逆不稳定性和老化	207
参考文献	210

强介陶瓷电容器

Д. М. 卡扎尔諾夫斯基著

李均報譯

章士瀛校



用以電容器

內容簡介

本書簡述了強性陶瓷的結構與極化的物理概念，並介紹強介電容器的結構、計算、製造工藝和試驗方法的基本知識。

本書供有關工程師、設計師、實驗室工作人員在製造和在電工技術與無線電技術裝置中，應用強介電容器時參考。

有關專業的高年級大學生亦可用做參考書。

DC44/17

苏联 Д. М. Казарновский 著 ‘Сегнетокерамические конденсаторы’ (Госэнергоиздат 1956 年第一版)

*
國防・書出版社

北京市書刊出版業營業許可證出字第 074 号
機械工業出版社印刷廠印刷 新華書店發行

*

787×1092 1/25 印張 8 7/25 166 千字

1959年 5月第一版

1959年 5月第一次印刷

印數：0,001—5,100 冊 定價：(11) 1.35 元
NO. 2884

目 次

前言	5
緒論	7
第一章 强介电容器的一般性能	16
1. 电介质的滞后现象	16
2. 电容	18
3. 电容器的非直线性	22
4. 无功功率和电容器的品质因数	25
5. 压电效应	29
6. 电容器的绝缘电阻	33
7. 电容器的绝缘强度	35
8. 电容器参数的变化	37
第二章 在陶瓷材料内的强电现象	40
9. 钽酸银的自发电化	40
10. 其他几种陶瓷材料的自发电化	47
11. 强性陶瓷内的自发电致伸缩	50
12. 在电场中的强性陶瓷	52
第三章 具有强电性能的陶瓷材料	57
13. 钽酸银	58
14. 钽酸铅	71
15. 锆酸铅	73
16. 锆酸银溶于锆酸铅内的固态溶液	78
17. 钽酸钙溶于钛酸铅内的固态溶液	79
18. 钽酸钽溶于钛酸铅内的固态溶液	79
19. 锡酸银溶于钛酸银内的固态溶液	80
20. 锆酸银溶于钛酸银内的固态溶液	83
21. 钽酸铅溶于钛酸银内的固态溶液	87
22. 钽酸钽溶于钛酸银内的固态溶液	90
23. 钽酸钙溶于钛酸银内的固态溶液	93
24. 钽酸银、锆酸银、钛酸铅和锆酸铅相互生成的固态溶液	94
25. 钽酸钙和钛酸钽溶于钛酸银内的固态溶液	96

第四章 强介电容器的設計原理和結構	99
· 26. 与强性陶瓷絕緣强度相适应的电容器电压	99
· 27. 与發热条件相适应的电容器电压	103
· 28. 与要求的强电性能相适应的电容器电压	110
· 29. 电容器的电容和損耗	112
30. 电容器的非直線性	119
31. 單層型电容器	121
32. 組合型电容器	122
33. 抗干扰电容器	126
34. 橫電場飽和的强介电容器	137
第五章 强介电容器的制造	136
35. 陶瓷电容器生产的一般工艺	136
36. 强性陶瓷制造过程的基本特征	142
37. 薄片平板形电容器的制造	147
38. 管形电容器的制造	153
39. 鼓形电容器的制造	153
第六章 具有强的和弱的非直線性的标准强介电容器	156
40. 非直線性弱的电容器的材料	156
41. 盘形和管形电容器	161
42. 多層組合电容器	166
43. 小型电容器	167
44. 鼓形电容器	169
45. 非直線性电容器	173
第七章 强介电容器的电气試驗	180
46. 直流电压下电容器的电容	180
47. 交流电压下电容器的电容和品質因数	182
48. 在交流和直流电压下电容器的电容量	193
49. 电容器的电流和电压曲綫	195
50. 电容器的压电特性	196
51. 电容器的絕緣强度	201
52. 电容器的絕緣电阻	206
53. 电容器的可逆不稳定性和老化	207
参考文献	210

前　　言

介質常數奇高，并且具有非直線性介質性能的陶瓷材料——鈦酸鋇的發現，為新型陶瓷電容器——強介電容器的發展奠定了基礎。緊跟着鈦酸鋇的發現，相繼又發現和研究了性能類似鈦酸鋇的其他陶瓷材料。同時並製造了各種用途的強介電容器，其中包括放大器、倍頻器以及其他類型裝置用的電容器。

雖然，有關鈦酸鋇和其他陶瓷強電體的著作很多，但是在強介電容器方面所獲得的結果仍還不夠系統化。儘管現在有很多的科學工作者，工程師都已在他們的研究工作中採用強介電容器，但是在一些書籍中目前還沒有詳盡的闡明強性陶瓷的技術種類、電氣性能以及強介電容器的結構、計算和試驗等一系列的問題。因此可以期望提供讀者參閱的本書能够在某些程度上彌補這方面的缺陷，並且也可作為一本基礎書籍，有助於讀者更深入地研究強介電容器和它在技術中的應用。

現在，強介電容器的生產規模還不大；一方面固然是由於強性陶瓷的性能在很多方面需要進一步的改善，但另一方面似乎也是由於研究電工及無線電技術設備的設計師、工程師對新型電容器抱着審慎的態度而引起的。應當認為，對強介電容器的主要性能及其特點加以闡述，將有助於在設備和儀器中廣泛地運用這種電容器，因而也將促進強介電容器的進一步的改善和生產的擴大。這樣在國民經濟中日益增長地應用強性陶瓷的進程將更為加速。

新的研究和技術上的新成就不斷地充實着強性陶瓷材料的領域。遺憾的是最近發表的一些著作和論文未能在 1955 年準備出版本書的手稿中加以闡述；其中很多在參考文獻的目錄中作了補充索引。

作者對 B. T. 列恩聶和 I. A. 斯摩列恩斯基表示感謝，感謝他

們在审查手稿時給予了寶貴的指示和建議，同時作者對自己的同事們和同志們所給予的經常的幫助也表示謝忱。

有关本書可能存在缺点的意見，請依照下列地址徑寄作者。

Ленгосэнергоиздат

地址：Ленинград，Марсовое поле, 1.

作者

緒論

电路的非直線性元件与直線性元件之不同，在于前者在电流或电压变化时，其参数不是常数。具有这种元件的电路，称为非直線性电路，因为这种电路中的变化过程，可以用非直線性微分方程式表示。电路之电阻、电感和电容元件及組合元件，均能具有非直線性的特性。在一定的条件下，由强电体制成的电容器，就是电路的非直線性电容元件。强电体是一种（在一定的溫度，頻率和电場强度下）具有奇特的介电特性的材料。在强电体中电場周期性变化时，电位移的瞬时值 D_{men} 和电場强度的瞬时值 E_{men} 的关系可用类似于鉄磁性材料的磁滞迴綫来表示；在强介电容器上的电荷 q 与端电压 u 的关系（ q 和 u 为瞬时值）曲綫也具有相似的形状。电容器上电荷的变化落后于电压周期性变化的这种現象称为电介質滞后。强电体的介質常数随着交变电場强度的变化而改变；如果在弱交变电場中，加上直流电場，測量介質常数，则可發現介質常数与直流电場强度的关系。

强电体的介質常数，随着溫度的变化往往改变得非常剧烈，其溫度关系曲綫还具有一最大值。

在一定的溫度与电場强度下，强电体的介質常数可以高达几千万。当頻率改变时，在介質常数的溫度曲綫上的最大值并不改变，它仍旧在原来的溫度上出現。

电介質滞后和介質常数与电場强度的关系只在某一溫度范围内發現。因而强电体具有临界溫度，超出此溫度时其特殊的性能将会消失。强电体在这一溫度下，發生了结构的变化，此溫度就是所謂居里点或晶相轉变点。强电体的介質常数在弱电場中在居里点上达到最大值。应当注意，强性盐內有两个居里点，上述的特性只在两点間的溫度范围之内發現。在一定的条件下，强电体

也具有压电的性能。

應該指出，当頻率特別高时，强电体的上述性能将要消失，对于陶瓷强电体，頻率的上限約为 10^8 赫芝。

强电体的上述特性，首先决定着这类材料的所謂强电性能，但是，应当指出，仅以这些特性来鑒定强电体，还是不够全面的。强电体的电气性能和它在电場中的动态与鐵磁性材料的特点在表面上有相似的地方。所以在外国的書籍里，有时将强电体称为鐵电体，但是更确切的称法应為我們所慣称的强电体。因为这些材料內不含鐵。强电性与鐵磁性之間有很大的区别，物質的鐵磁性与电子本身的磁矩有关，磁矩在高于居里点的时候仍然存在。强电性与离子的組合电矩有关，而这些离子在結晶格內以一定形式排列，并在一定的区域范围内組成最大的总的电矩。高于某一溫度（居里点）时晶格的結構将具有其他特征，此时电矩将会消失。强电体的命名，与另一种物質——強性盐的命名有着密切的关系。強性盐 ($\text{NaKC}_4\text{H}_4\text{O}_6 \cdot 4\text{H}_2\text{O}$) 是我們最早發現具有上述强电 特性的一种物質。強性盐發現于 1672 年，并开始用于医学。1880 年 П. М. 居里兄弟二人在酒石酸鉀鈉盐中發現了压电效应。

1894年在晶体 “ a ” 軸方向上确定了強性盐介質常数的反常現象。在当时研究压电学的俄国科学家中应指出的有：Б. 科列恩科 [参考文献 2]，Г. 吳尔富和Н. 安德列夫。經過 И. 瓦拉舍科 (Валашек) 和其他科学家的研究 (1915~1924)，強性盐才开始得到較大的重視，強性盐的一些主要性能 (滞后現象、居里点和很高的介質常数等等) 也是在这个时期确定的。在深入研究和在理論闡述强电体的反常性能方面，苏联科学家 И. В. 庫里卡脫夫，П. П. 科別科和他的同事們，以及 P. 蜀爾娃斯-索洛基娜的著作都起了卓越的作用。

強性盐——酒石酸鉀鈉盐是斜方晶系的晶体。如圖 1 所示，截面为十角形状，晶格常数之間的比例如下：

$$a:b:c = 0.8317:1:04296.$$

强性盐的比重为 1.767 克/公分³，加热时晶体很容易裂开，在溫度为 +50°C 时，晶体便分解。强性盐非常脆，易溶于水，强性盐的晶体是显著的各向异性体，仅沿着結晶軸“a”时，晶体才具有强电性能，結晶軸“a”被称为强电軸。只有当电場順着此軸或者电場的分量沿着此軸时，才發現介質滞后，很高的介質常数，以及介質常数随溫度、电場梯度和頻率的尖銳的变化关系。强性盐在 b 和 c 軸方向的性能，与接近于它的一些結晶物質的性能无显著的差別。

将强性盐置于弱电場中，在頻率不高、溫度范围为 -18~+22.5°C 时，它所具有的性能对于技术使用來說是最有意义的。对于自由晶体來說，在頻率为 50 赫芝并放在弱电場 ($E < 60$ 伏/公分) 中时，强性盐晶体的介質常数的溫度曲綫，有两个最大值 [参考文献 3] [圖 2]。

当以重氢代替晶格中的氢时（重氢是氢的同位素，原子量等于 2），强性盐的性能，發生了很大的变化。溫度远远低于 -18°C 或显著地高于 +22.5°C 时，高的介質常数和非直線性介質的性能仍然存在。因此对于这种物質，强电性的区域不限制在 -18~+22.5°C 的范围内，而占据着更寬的范围。介質常数与电場强度的关系，在弱电場中，只有頻率不大于 5000 赫芝（圖 26）时，才可能發現。当电場强度 E 由 100 增至 400 伏/公分时（頻率为 50 赫芝），介質常数由 $\epsilon = 1770$ 增到 $\epsilon = 2330$ ，然后显著地跌落，当电場强度为 $E = 16.5$ 千伏/公分时，而介質常数下降为 $\epsilon \approx 200$ 。应注意到，在强交变电場中，由于强性盐的損耗特別大，要測定介質常数是極其困难的。在高頻下，介質常数也急剧下降（圖 3）；頻率为 $10^6 \sim 10^9$ 赫芝时， $\epsilon \approx 100$ ；頻率为 $9.5 \cdot 10^{10}$ 赫芝时 $\epsilon = 8$ 。在空气中試驗时，强性盐的絕緣强度是很低的。强性盐在

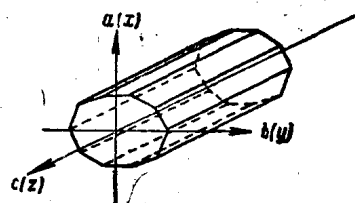
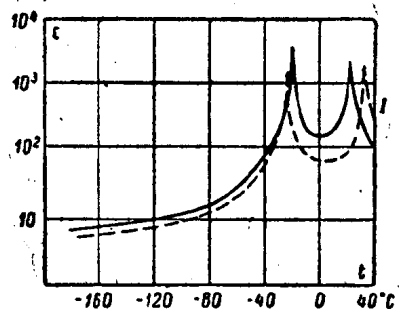


圖 1 强性盐的晶体，a、b、c —— 結晶軸。

10

a)



b)

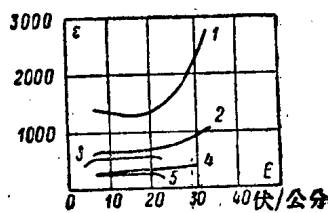
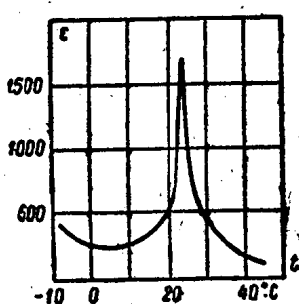


圖 2 強性鹽 ($\text{NaKC}_4\text{H}_4\text{O}_6 \cdot 4\text{H}_2\text{O}$) 的介質常數與溫度
(a)、電場強度 (b) 的關係。

頻率 f 赫芝…… $10^3, 5 \cdot 10^3, 10^4, 5 \cdot 10^4, 2 \cdot 10^5$ 曲線……1, 2,
3, 4, 5 (曲線1——用重氳代替了氳的強性鹽 $\text{NaKC}_4\text{H}_2\text{D}_2\text{O}_6 \cdot 4\text{H}_2\text{O}$, 在弱電場中和頻率50赫芝時)。

a)



b)

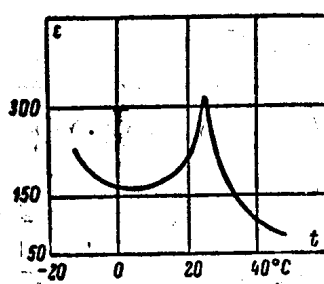


圖 3 在弱電場中 ($E < 60$ 伏/公分); 頻率為 $8 \cdot 10^4$ 赫芝時,
酒石酸鉀鈉鹽介質常數與溫度的關係:

a) 自由晶體; b) 夾緊晶體。

空气中产生击穿时的电场强度，比空气的击穿强度低的很多，这可能是因为在强性盐的表面上产生了表面放电的缘故。在不均匀的电场里，如在变压器油(尖端-平面)中进行试验时，厚度为3公厘的试样在直流电压下的击穿电场强度不超过30~50千伏/公分，在交流电压下则不超过30~40千伏/公分，如试样的厚度为1公厘，

則击穿电場强度为 90~100 与 60~70 伏/公分。在很均匀的电場中(試样带凹穴)，放在变压器油里，加直流电压，其击穿电場强度約为 120 伏/公分(試样厚度为 1 公厘)。强性盐中的損耗以 $\text{tg } \delta$ 表示，电場强度 $E = 105$ 伏/公分时， $\text{tg } \delta = 0.7$ ， $E = 16.5$ 伏/公分时， $\text{tg } \delta = 0.1$ 。强性盐的体电阻系数在稍微高的溫度下，急剧下降，+43°C时， $\rho = 5 \cdot 10^{10}$ 欧姆·公分。

机械压缩晶体会强烈地改变着滞后曲線的形状，同时在弱电場中，介質常数也急剧地下降(圖 3)，可能只等于数个單位；压电效应只能在很窄的溫度范围内有显著表現(圖 4)。强性盐(參閱 31 頁)，在 $t = 20^\circ\text{C}$ 时，压电系数的值(平均值)如下：

不变向負荷时(靜力状态)

$$d_{14} = 2.64 \cdot 10^{-4} \text{ CGCE}_0 = 8.8 \cdot 10^{-9} \text{ 庫倫/牛頓};$$

$$d_{25} = -5.63 \cdot 10^{-11} \text{ 庫倫/牛頓},$$

$$d_{36} = 1.18 \cdot 10^{-11} \text{ 庫倫/牛頓};$$

变向負荷时(动力状态)

$$d_{14} = 2.7 \cdot 10^{-10} \text{ 庫倫/牛頓},$$

$$d_{25} = -5.6 \cdot 10^{-11} \text{ 庫倫/牛頓},$$

$$d_{36} = 1.17 \cdot 10^{-11} \text{ 庫倫/牛頓}.$$

頻率特別高时，如 10^9 赫芝，强性盐的介質常数不大，压电形变来不及产生，更确切地說，就是压电形变来不及随着电場改变。所以在高頻下，介質常数非常接近于无形变晶体的数值。

研究强性盐的同时，И. 里庫卡脫夫 П. 科別科和其他一些科学家証明了：如果在强性盐中加一些与它同晶体但不具有强电性能的物質，可改变介質常数，并使其居里点移入更低的溫度区。这一点是在强性盐內加入鈉

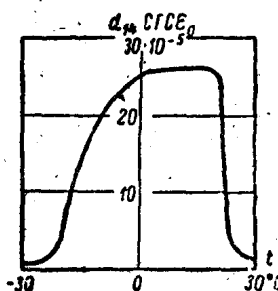


圖 4 直流电場中压电系数 d_{14} 的溫度关系。

鉀盐、鈸盐、鈉銨盐时發現的；虽然这些化合物在成分与晶体結構方面和强性盐非常近似，但不具有强电性能。同晶的攪合物对强性盐的作用是不同的，如鈉銨盐的作用是降低介質常数，縮小强电区域，使最高居里点移入更低的溫度区；如果鈉銨盐的濃度特別大，则只能获得具有一个最高居里点的强电体。上述的攪合物，只有当所含强性盐的分量很多时，才能具有强电性能[参考文献 5]。

在廿世紀四十年代，發現了另外一些强电体，这些强电体与强性盐不同，只有一个居里点。像亞磷酸鉀 (KH_2PO_4) 是其中的一种，对于这种强电体，居里点是在很低的溫度上； -158°C ，此时沿着晶軸 c 的 ϵ 值为 47500；在标准溫度下 $\epsilon < 100$ 。如以重氯代替氯，所得的結晶体 (KD_2PO_4) 的居里点在 $t = -68^\circ\text{C}$ 。

另有一种具有强电性的物質——砷酸鉀 (KH_2AsO_4)，其居里点在 $t = -182^\circ\text{C}$ ，此时沿着晶軸 c 的 ϵ 值等于 36500；标准溫度下，所有这些物質的介質常数都很小，并且他們不具有强电性能。

分析一下上述强性盐的主要性能，結果就会發現它有很多的缺点，妨碍了它在技术上的应用。这些缺点首先是它的很高的介質常数与極強的非直線性能只能存在于極狭窄的溫度範圍內，而在后期發現的同类强电体中，这些性能又只能在很低的溫度下才出現，例如 KH_2PO_4 在 $t = -158^\circ\text{C}$ ； KH_2AsO_4 在 $t = -182^\circ\text{C}$ 。其次频率高于 5000 赫芝时强性盐不能应用，因为它的介質常数与电場强度的关系消失了。

电場方向在强性盐的晶体內必須順着强性軸（軸 a ）；仅仅在这样的情况下，才有上述的特性。强性盐难以利用还因为它的絕緣强度非常低，化学——物理性能不佳（脆，化学性能不稳定，易溶于水，加热时易裂开，在不高的溫度約 50°C 时要分解等）。陶瓷强电体在很大的程度上已摆脱了这些缺点，在外电場的作用下，强性陶瓷內的極化过程与直線性陶瓷不同，前者的極化不仅仅是电荷的位移，同时靠其他極化区域的縮小而使某些自發極化区域

增長，整个的区域在電場中取向；也可能重生和增長新的極化区。陶瓷強電体在寬廣的溫度與頻率（ $10^7 \sim 10^8$ 赫芝）的範圍內仍保持強電的性能；由於本身的結構是多晶體，陶瓷強電体在電場的各个方向都可呈現強電性能，不像在強性鹽中，電場的方向只有沿着某个晶軸時才具有強電性能，強性瓷在電場作用後具有壓電的性能。陶瓷強電体的絕緣強度在空气中試驗時，比強性鹽大1~3倍。最後，還有一點起着重要的作用，即強性瓷和強性鹽的不同是它具有很高的機械強度，很高的化學穩定性、防潮性以及耐熱性。生產陶瓷並不需要用稀有的原料，工藝較簡單，可製成各種外形尺寸的制品，同時又有可能使主要的生產過程機械化，若要小規模地製造，在工廠、研究所或設計局的試驗室內製造也可以。

在偉大的衛國戰爭年代，蘇聯科學院物理研究所曾進行過多次研究，目的在於設計出各種類型的新的陶瓷電容器。在研究過程中，B. M. 符爾和他的同事們合成了新型陶瓷——具有強電体特性的鈦酸鋇。鈦酸鋇各種特性研究的結果和對這個問題在理論上第一次的闡述，於1945年在蘇聯首先發表。這些研究工作，涉及到元素周期表第二族金屬鈦酸鹽的性能，鈦酸鋇是其中之一〔參考文獻6〕；發現了電場強度和壓力對介質常數〔參考文獻7〕和其他參數的影響。

上面提到的許多著作中，包括著證明鈦酸鋇是屬於強電体的一些基本數據和物理概念〔參考文獻9〕，在當時也發展了強電体的理論〔熱動力學的理論〕〔參考文獻10〕。這種理論將強電体內的晶相轉變視為第一種或者第二種接近於臨界居里點的晶相轉變。

1944年，在外國的技術刊物上，曾報道過介質常數大於1000的材料，但是未指出這些材料的組成成分。到1946年才首次發表了有關陶瓷強電体及其組成成分和結構的數據〔參考文獻11〕。在這篇文章里指出，戰爭時期已經開始研究強性陶瓷，1943年已經獲